



Popayán, 13 de abril de 2026

Actividad volcánica del segmento central de Colombia

Del seguimiento de la actividad volcánica durante el mes de febrero, el **Servicio Geológico Colombiano (SGC)**, entidad adscrita al **Ministerio de Minas y Energía**, presenta el informe de la actividad de las estructuras volcánicas que conforman este segmento del país:



La red de estaciones sismológicas del **volcán Nevado del Huila (VNH)** detectó un total de 2001 eventos sísmicos durante el periodo comprendido entre el 1 y el 28 de febrero de 2026, de los cuales 577 estuvieron relacionados con fracturamiento de roca y 1424 con la dinámica de fluidos en los conductos volcánicos; de estos últimos, 1345

fueron catalogados como sismos de Largo Periodo (tipo LP), 49 como pulsos de tremor de baja magnitud (tipo TR) y 30 estuvieron asociados tanto a fracturamiento de roca como a dinámica de fluidos, por lo que fueron clasificados como eventos híbridos (tipo HB). En la Figura 1a se muestra el número de sismos registrados diariamente durante el último año de monitoreo. Se observa una mayor proporción de eventos tipo LP, comportamiento que se viene observando desde el mes anterior, no obstante, estas variaciones en el número de eventos se mantienen dentro de lo usualmente observado en la línea base establecida para este volcán.



Boletín mensual

La energía sísmica liberada por los eventos VT no presentó cambios, como se aprecia en la Figura 1b la tendencia de la curva de energía permaneció sin variaciones. Del mismo modo, la sismicidad tipo LP presentó estabilidad durante todo el periodo. Las magnitudes calculadas para los eventos VT fueron intermedias, como un evento ocurrido el día 26 con 2,0 M_L , como se aprecia en la Figura 1c.

Las localizaciones obtenidas para los sismos de fractura no mostraron variaciones importantes con respecto a lo registrado en el último año, tanto en distribución epicentral como en rangos de profundidad, con concentraciones en las fuentes nororiente, suroriente y Pico Central (Figura 2).

Durante el periodo evaluado, la red de monitoreo de deformación del suelo del volcán Nevado del Huila no registró variaciones significativas que sugieran la ocurrencia de procesos deformativos. Tanto el inclinómetro electrónico como la estación GNSS Caloto mostraron un comportamiento estable en las tendencias de sus datos (Figuras 1e y 1f).

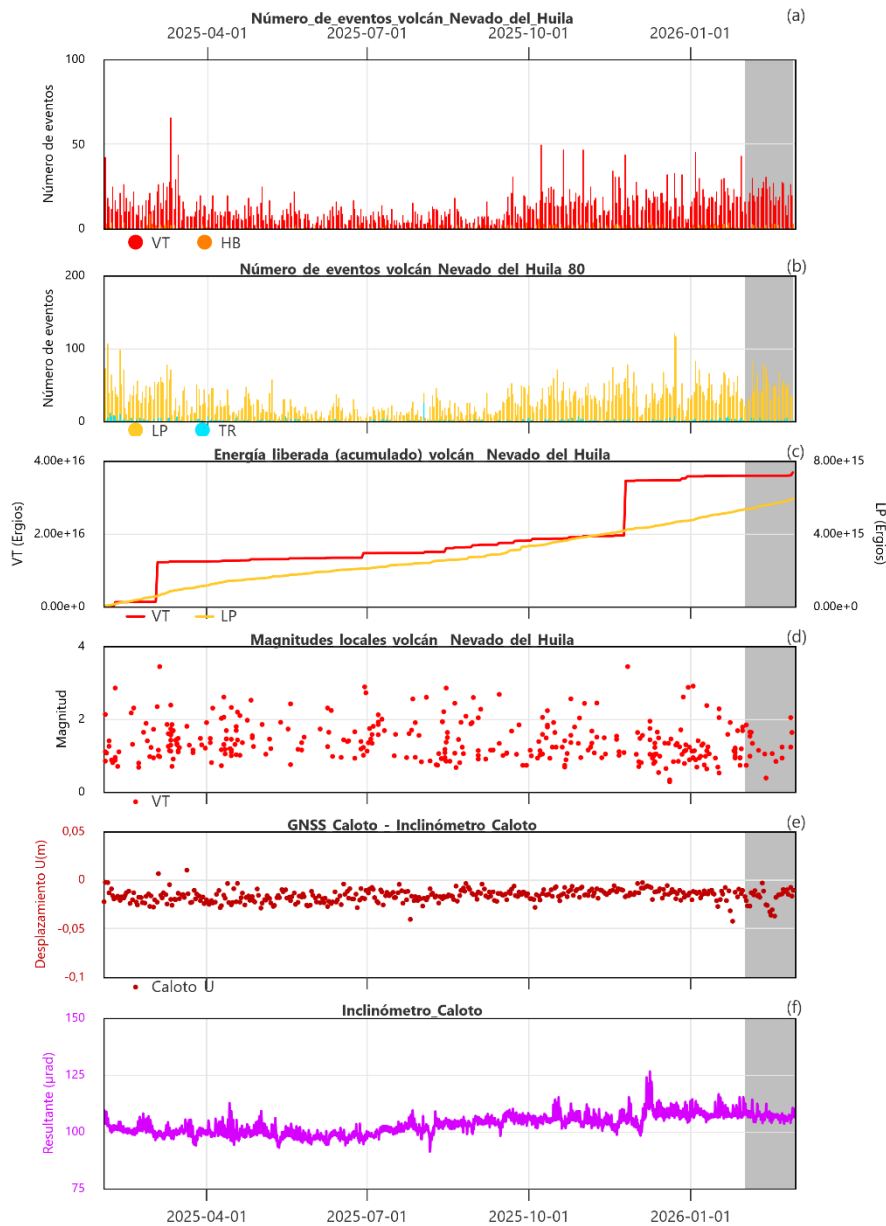


Figura 1. Registros sísmicos entre el 1 de febrero de 2025 y el 28 de febrero de 2026. El recuadro gris resalta el mes evaluado. a) Número de sismos de fractura (VT) e híbridos (HB) por día. b) Número de sismos de fluidos (LP y TR) por día. c) Raíz cuadrada de energía sísmica acumulada. d) Magnitud local de eventos VT localizados. e) Componente vertical de la estación GNSS permanente Caloto. f) Resultante del inclinómetro Caloto

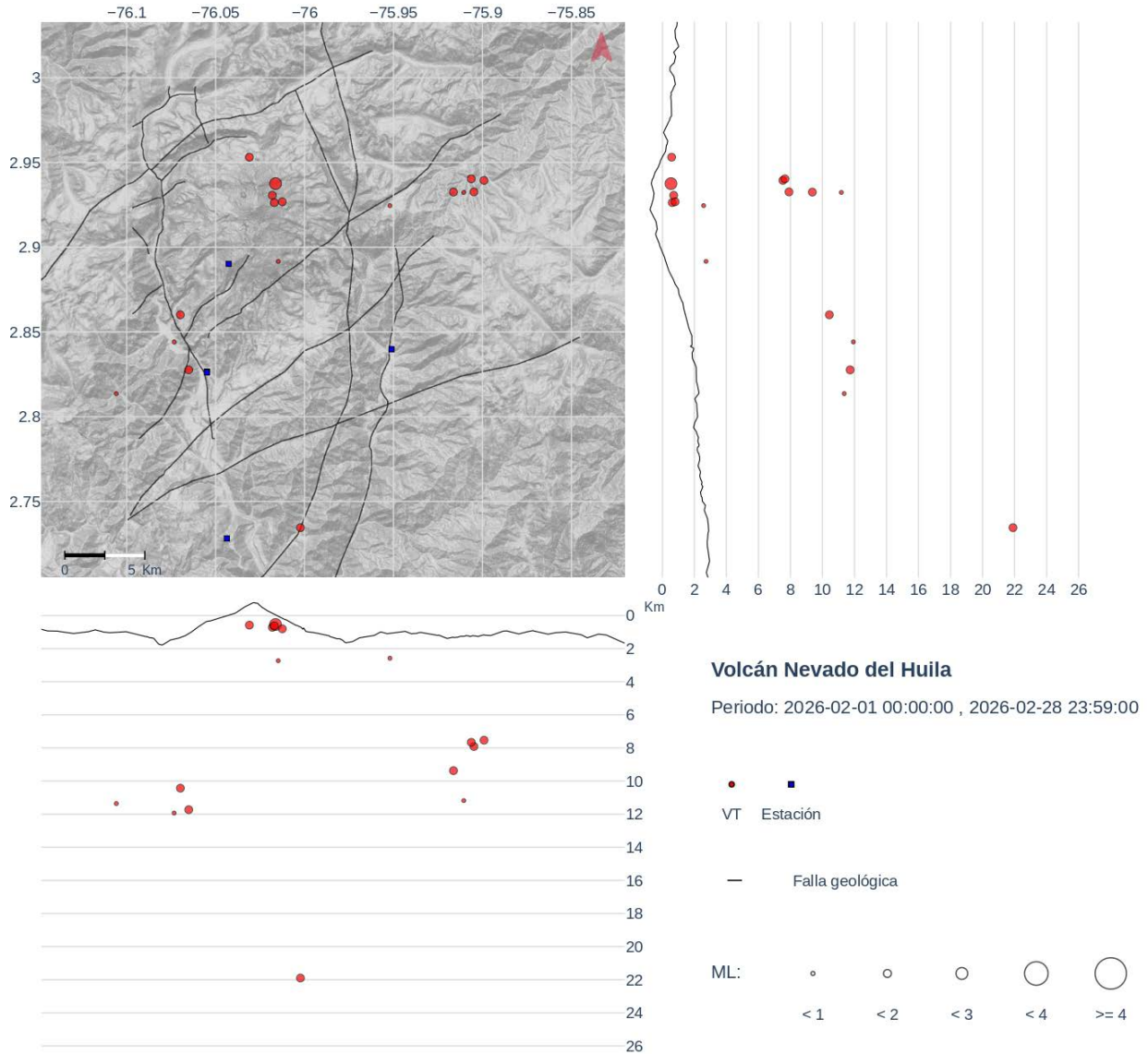


Figura 2. Localización de sismos VT ocurridos durante el mes de febrero de 2026 en el VNH. Los círculos indican las localizaciones epicentrales e hipocentrales, cuyos tamaños varían según la magnitud. Los cuadros azules representan las estaciones sísmicas

A lo largo del mes se logró registrar desgasificación de color blanco (gases y vapor de agua) que son emitidas desde la superficie del cuerpo dómico y desde el sistema de grietas



que recorren y atraviesan el Pico Central de este volcán, con columnas menores a 500 m de altura. Los gases emitidos se dispersaron tendencialmente hacia el noroccidente-occidente del edificio volcánico, siguiendo el patrón de vientos predominante en la zona. El contenido de SO_2 presente se evaluó a través del monitoreo satelital, registrando emisiones bajas con radios de dispersión entre 25 y 75 km. Los valores de masa emitida y concentración fueron de hasta 0,02 kilotoneladas (kt) y 0,54 Unidades Dobson (DU), respectivamente (Figura 3), valores considerados bajos para este volcán.

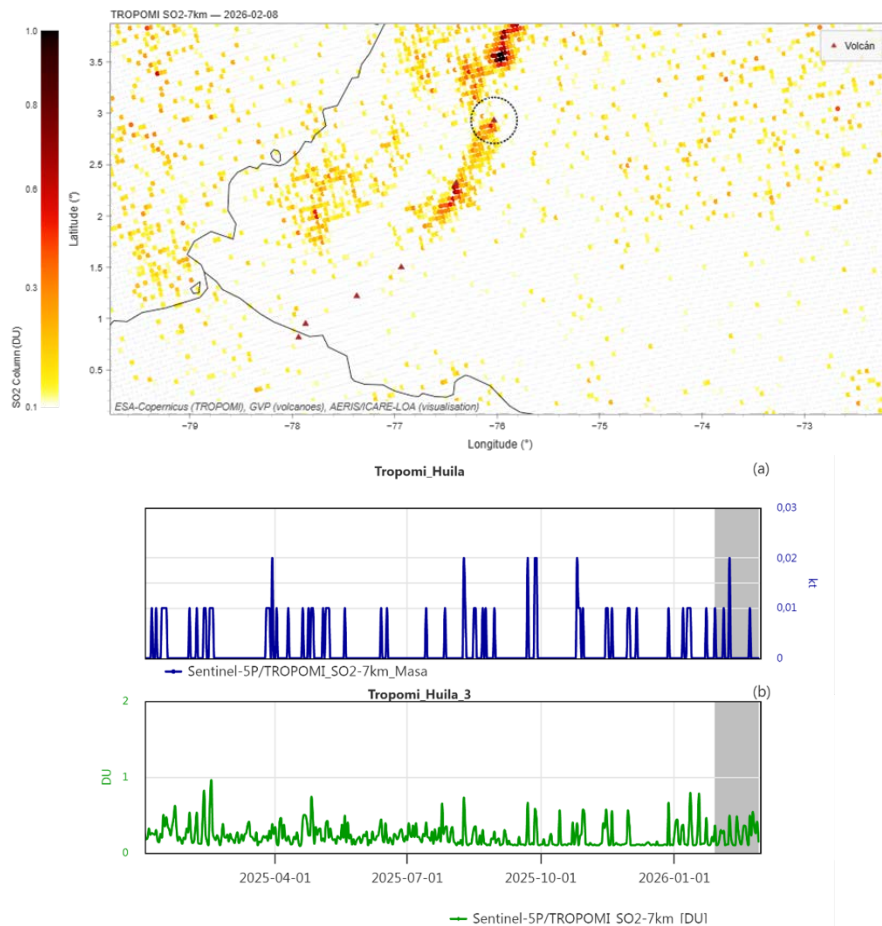


Figura 3. Registro de monitoreo satelital de SO_2 Volcán Nevado del Huila – TROPOMI_Sentinel-5P. Arriba: Imagen de detección satelital de SO_2 del 8 de febrero de 2026. Abajo: Gráfico de registro satelital de emisiones de SO_2 con relación a la masa emitida (a) y concentración (b)



Boletín mensual

La Figura 4 muestra los datos obtenidos del Modelo Pronóstico WRF del IDEAM, el cual reportó velocidades máximas diarias hasta de 8,5 m/s (31 km/h), conservando un promedio de 4 m/s (14 km/h) para un estrato de 18 000 ft (5486 m s. n. m.) y un máximo de 4,2 m/s (15,1 km/h), con un promedio de 1,3 m/s (4,7 km/h) para un estrato de 10 000 ft (3048 m s. n. m)

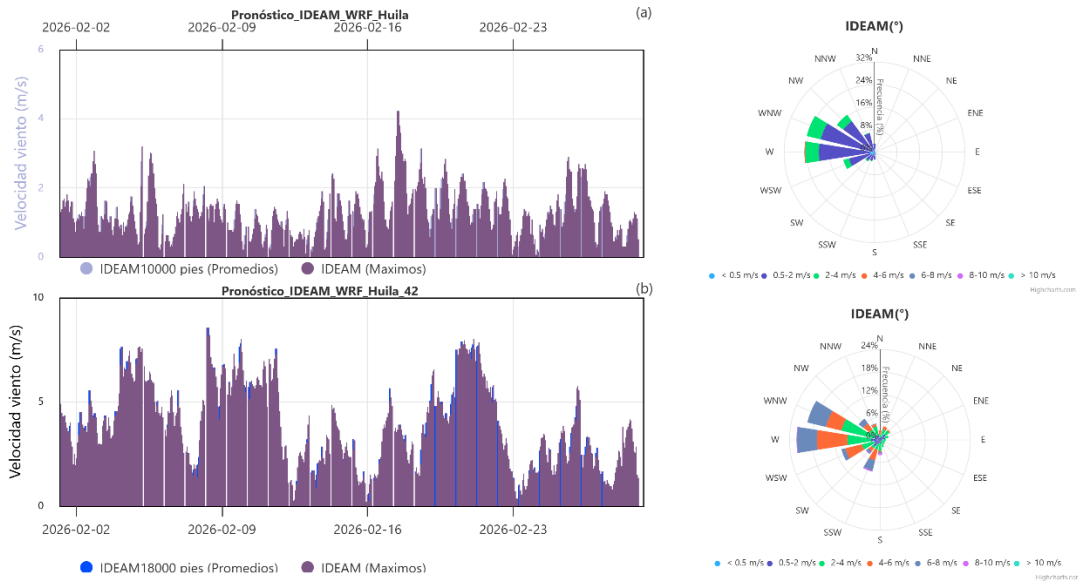


Figura 4. Modelo pronostico WRF- IDEAM volcán Nevado del Huila, febrero de 2026

A través de las cámaras web Caloto, Maravillas y La Palma, no fueron detectados cambios morfológicos relacionados con la actividad volcánica (Figura 5).



Figura 5. Imágenes de la desgasificación en el volcán Nevado del Huila obtenidas por las cámaras web La Palma, Caloto, y Maravillas febrero de 2026

Por lo anterior, el nivel de actividad del **volcán nevado del Huila** continúa en estado de **ALERTA AMARILLA** ■ (o III): volcán activo con cambios en el comportamiento del nivel base de los parámetros monitoreados y otras manifestaciones.



Boletín mensual



En el mes de febrero de 2026 la actividad sísmica del **volcán Puracé - cadena volcánica Los Coconucos (VP - CVLC)** continuó mostrando una disminución tanto en número como en energía, esta tendencia a la baja viene dándose desde enero, cuando el Servicio Geológico Colombiano, mediante el Observatorio Vulcanológico y Sismológico de Popayán, decretó el [cambio de nivel de alerta de](#)

[Naranja a Amarilla](#). A pesar de la disminución paulatina en la sismicidad, el número de eventos registrados se mantiene por encima del nivel base conocido para este volcán, predominando aquellos asociados a procesos de fluidos sobre los relacionados con el fracturamiento de roca.

Durante el periodo evaluado se registró un total de 4290 eventos sísmicos. De estos, 443 estuvieron asociados con procesos de fracturamiento de roca (tipo VT), dentro de los cuales 211 correspondieron a eventos híbridos (tipo HB), es decir, su mecanismo de generación es compuesto (Figura 6a). Los 3847 eventos restantes se relacionaron exclusivamente con dinámicas de fluidos al interior de los conductos volcánicos, distribuidos en 3067 sismos de largo periodo (tipo LP), 543 eventos de baja frecuencia (tipo BF), y 235 pulsos de tremor (tipo TR) y dos eventos tornillo (tipo TO) (Figura 6b).

La energía sísmica liberada por los eventos asociados a fracturamiento de roca e híbridos se mantuvo estable, es decir, dentro de los rangos promedio históricos para este volcán. En contraste, la energía correspondiente a los eventos de largo periodo, incluidos los tipos BF y TO, continúa evidenciando aportes significativos desde mediados de noviembre del año anterior. Este comportamiento se refleja en las curvas acumuladas presentadas en la Figura 6c. Por su parte, la estimación de la energía basada en el desplazamiento reducido de señales sísmicas asociadas al movimiento de fluidos mostró, durante el mes evaluado, valores inferiores a 8 cm², lo que indica niveles energéticos bajos (Figura 6d).

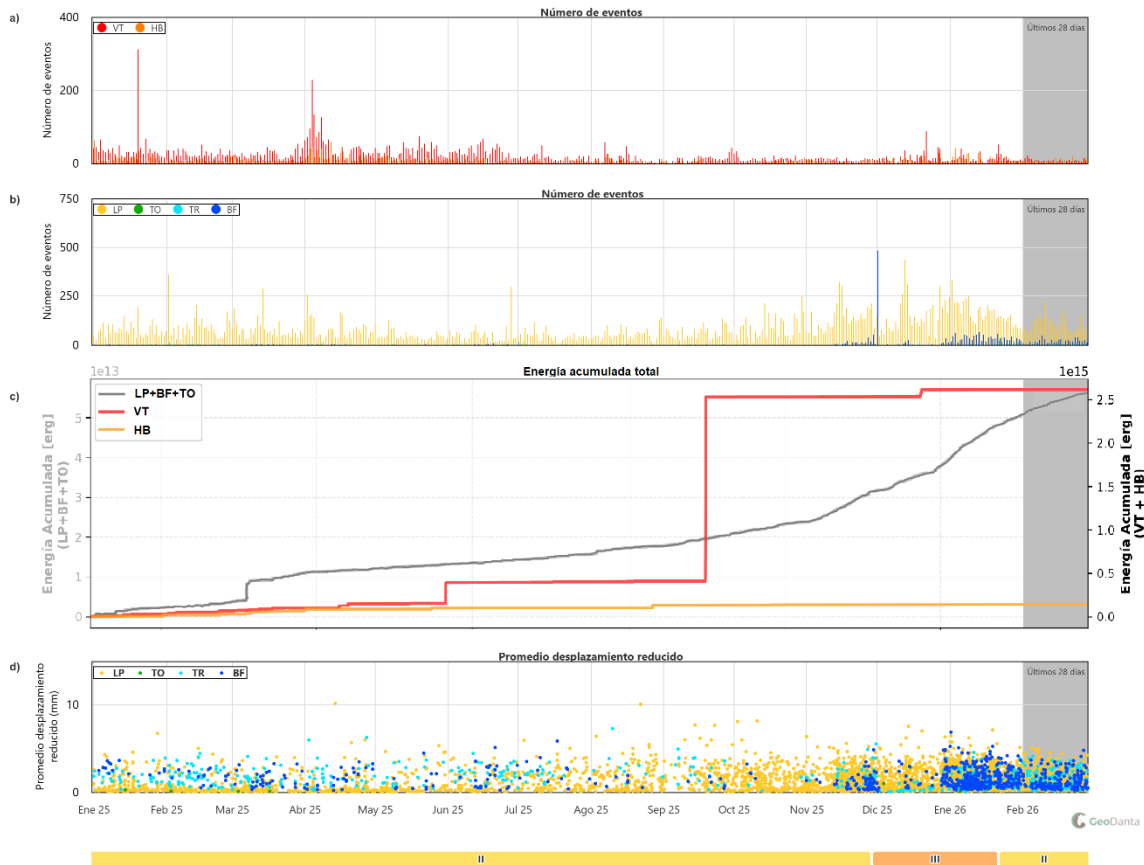


Figura 6. a) Número de sismos VT & HB, b) Magnitudes locales para, c) Número de sismos de fluidos, d) Desplazamiento reducido y e) Energía sísmica acumulada. Serie temporal entre el 1 de febrero de 2025 y el 28 de febrero de 2026. La región sombreada destaca el periodo evaluado

Durante el mes de febrero se registró únicamente una emisión de ceniza verificada visualmente, en contraste con los meses anteriores, en los que se reportaron 46, 128 y 44, respectivamente. Esta emisión fue desencadenada por la ocurrencia de un sismo asociado a la dinámica de fluidos, que, al momento de la liberación de la columna de gases a la atmósfera, generó una señal de tremor. En la Figura 7 se presenta tanto el registro sísmico del evento como la imagen térmica correspondiente a la emisión.

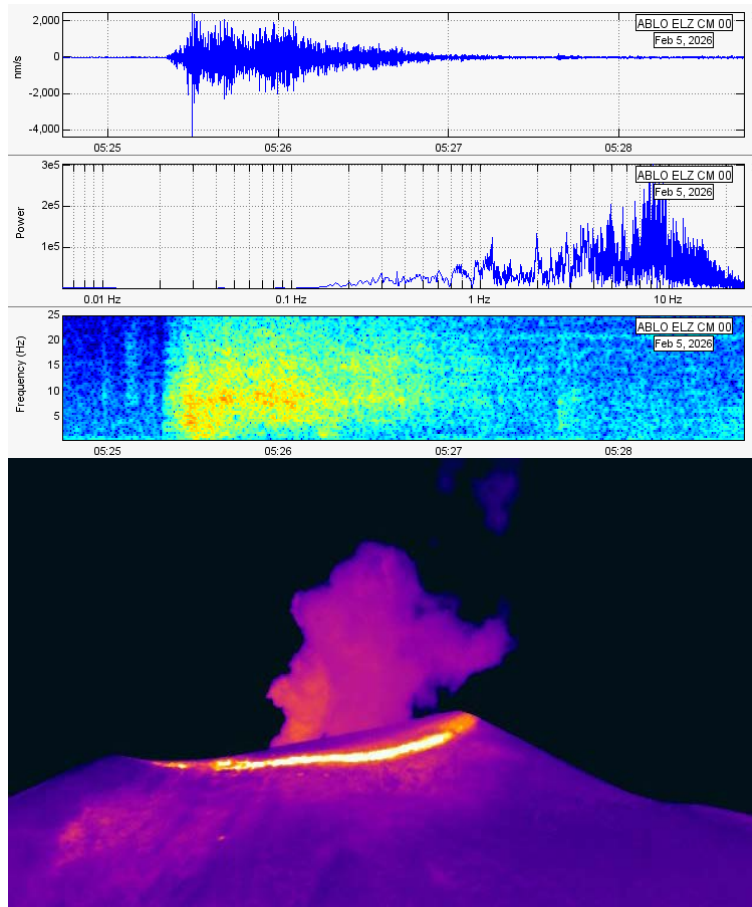


Figura 7. En la parte superior se presenta el registro sísmico y el espectro frecuencial del evento asociado a la emisión de ceniza del 4 de febrero, tomado de la estación Agua Blanca. En la parte inferior se muestra la imagen de la emisión captada por la cámara web Mina, ubicada 2,5 km al noroccidente del cráter

El tremor continuo, que se había registrado de manera continua entre finales de septiembre y mediados de diciembre del año pasado, se presentó solo durante algunos días en los meses de enero y febrero (Figura 8a). En cuanto a sus características, los pocos episodios registrados exhibieron amplitudes bajas, inferiores a 100 nanómetros por segundo (Figura 8b), y valores de índice de frecuencia con un promedio de $-0,5$. Este último comenzó a



mostrar valores bajos con el inicio de las emisiones de gases y ceniza, manteniéndose así hasta la fecha (Figura 8c).

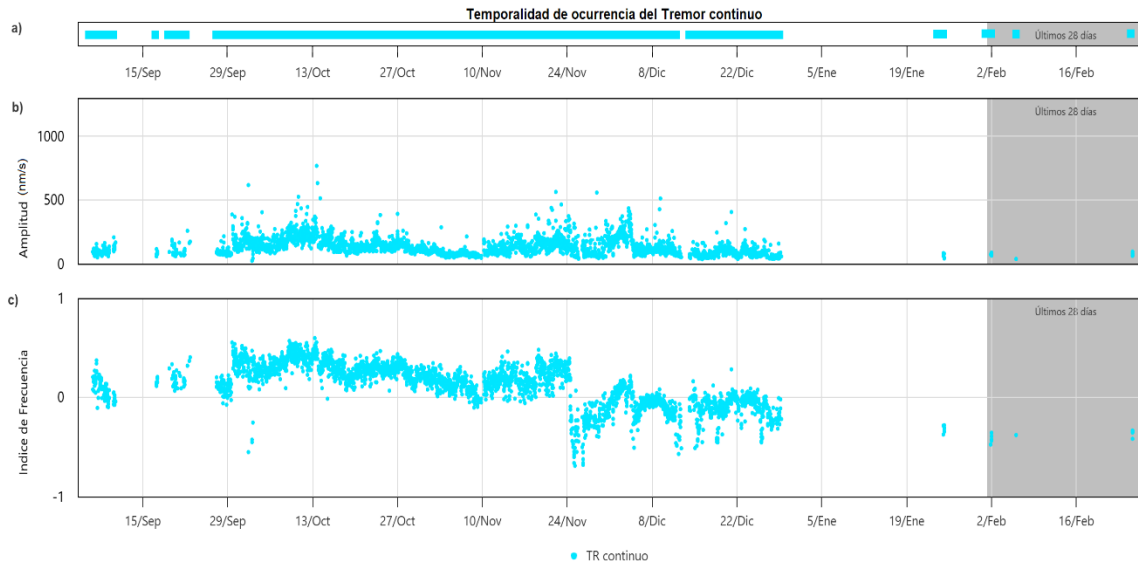


Figura 8. a) Línea de tiempo del tremor continuo y detalle de su b) amplitud, expresada en nanómetros por segundo y c) índice de frecuencia medidos en la estación Agua Blanca – componente vertical

Durante el mes de febrero se localizaron 172 sismos asociados a procesos de fracturamiento, distribuidos en las fuentes sismogénicas identificadas como activas en los últimos años. Estas corresponden a: (I) el sector bajo la porción más septentrional de la cadena volcánica, a profundidades menores a 4 km; (II) el sector Patíco–La Cabrera, ubicado aproximadamente a 13 km al noroccidente del cráter del volcán Puracé, con profundidades entre 6 y 12 km; (III) el valle de San Rafael, a 6 km al nororiente, con profundidades cercanas a 12 km; y (IV) el valle de Paletará, a 10 km al suroccidente, donde los eventos se generaron entre 5 y 15 km de profundidad (Figura 9a).

Entre las fuentes mencionadas, se destaca la primera por su mayor actividad, incluyendo la generación de 112 eventos tipo híbrido (HB). En esta zona se observó que los sismos



Boletín mensual

bajo el cráter del volcán Puracé se originan a profundidades menores a 1 km, mientras que bajo las estructuras Picoello y Curiquina los focos sísmicos se ubican entre 1 y 4 km.

A medida que los eventos de fractura se alejan del eje de la cadena volcánica, las profundidades de generación tienden a incrementarse, alcanzando valores entre 2 y 7 km. Este comportamiento es característico de los sismos asociados a la falla Moras y evidencia la compleja interacción entre las estructuras tectónicas y la actividad volcánica.

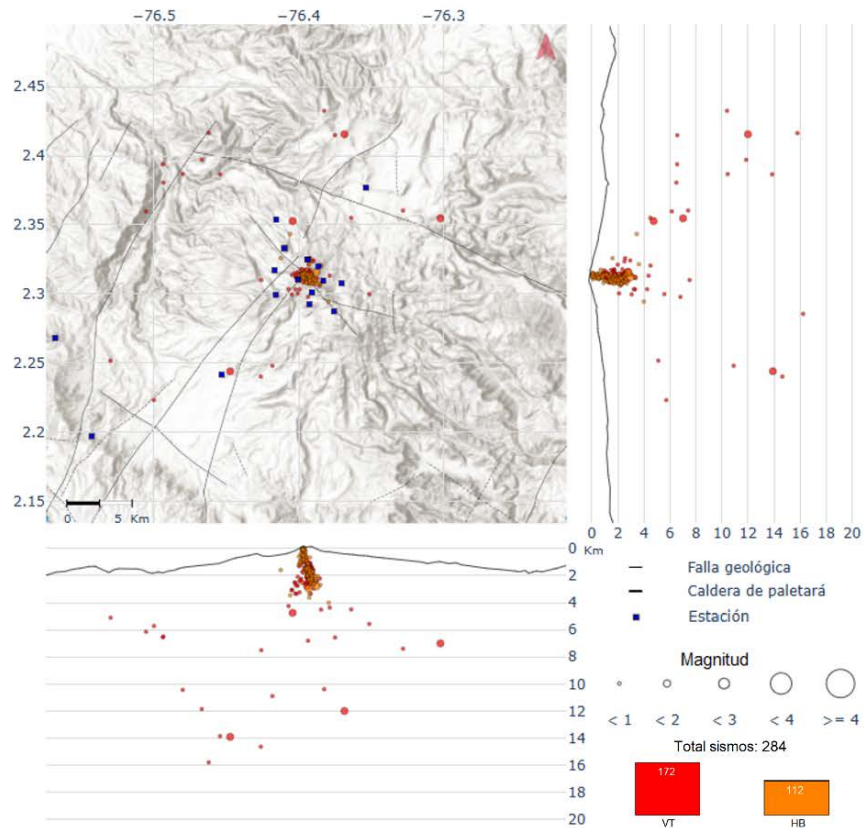
Es importante resaltar que la totalidad de los sismos de fractura e híbridos localizados en la zona de influencia volcánica presentó magnitudes bajas, inferiores a 2,0 M_L . En particular, el 3 de febrero se localizaron 21 eventos de fractura, mientras que el día 22 se registraron 18 eventos híbridos (Figura 9b).

En el mismo periodo se localizaron 1120 sismos asociados a la dinámica de fluidos, predominando los eventos de tipo LP (~70%). Las dos fuentes sismogénicas más activas en los últimos años mantuvieron claramente su predominio: (I) el sector bajo el flanco occidental del cráter del volcán Puracé, a niveles muy someros (≤ 1 km), y (II) la zona bajo los volcanes Picoello y Curiquina, a profundidades entre 1 y 2,5 km. La primera concentró el 99% de los eventos localizados, mientras que la segunda aportó únicamente el 1% (Figura 10a). Se destacan los días 8, 11 y 18 de febrero, en los que se superaron los 150 eventos tipo LP localizados (Figura 10b).



Boletín mensual

a)



b)

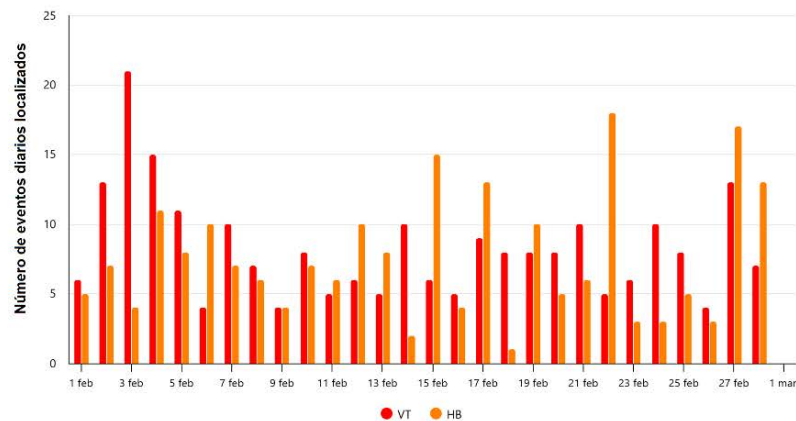
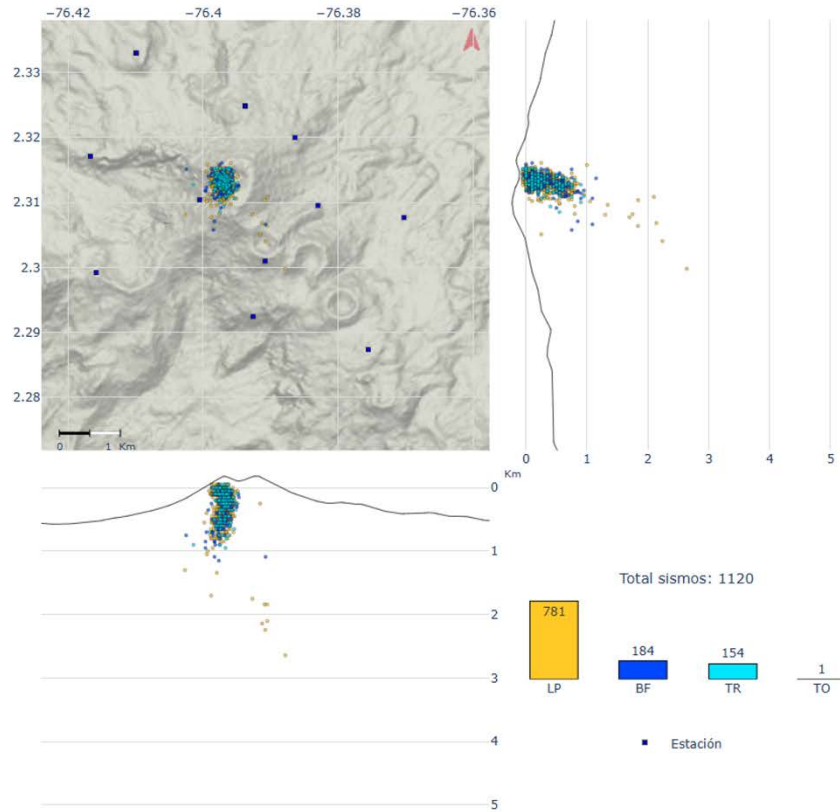


Figura 9. Mapa de la localización de la sismicidad de fractura (VT y HB) registrada en febrero de 2026 en la CVLC - VP. Los círculos indican las localizaciones epicentrales e hipocentrales, cuyos tamaños varían según la magnitud calculada. Los cuadros azules representan las estaciones sísmicas



Boletín mensual

a)



b)

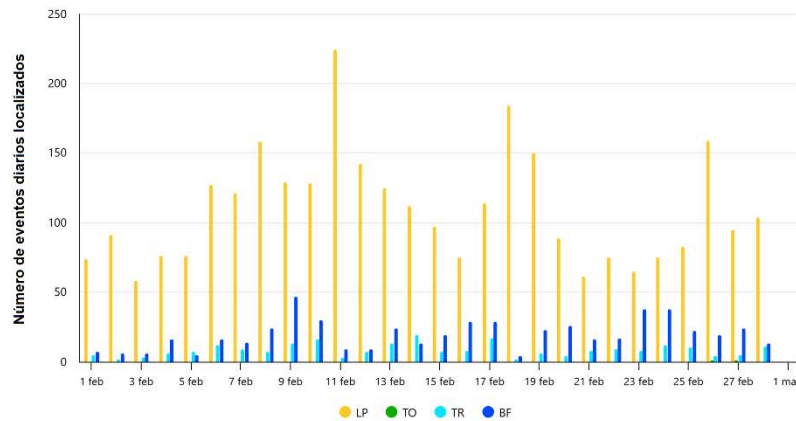


Figura 10. Localizaciones de la sismicidad asociada con el tránsito de fluidos (LP, TO, TR y BF) registrada en febrero de 2026 en la CVLC - VP. Los círculos indican las localizaciones epicentrales e hipocentrales. Los cuadros azules representan las estaciones sísmicas



El monitoreo realizado mediante la red de estaciones GNSS (Sistema Global de Navegación por Satélite) continúa registrando un proceso de deformación activo en la parte alta de la CVLC. Los desplazamientos se concentran principalmente en el sector comprendido entre los volcanes Puracé, Picollo y Curiquinga. Durante el periodo evaluado las velocidades verticales presentaron variaciones sutiles asociadas a tendencias estacionales, este comportamiento es un ruido inherente a la técnica de medición y no representa un cambio en la dinámica volcánica. En términos generales, se observa que las magnitudes de deformación se han mantenido estables y sin cambios significativos durante este mes (Figuras 11 y 12).

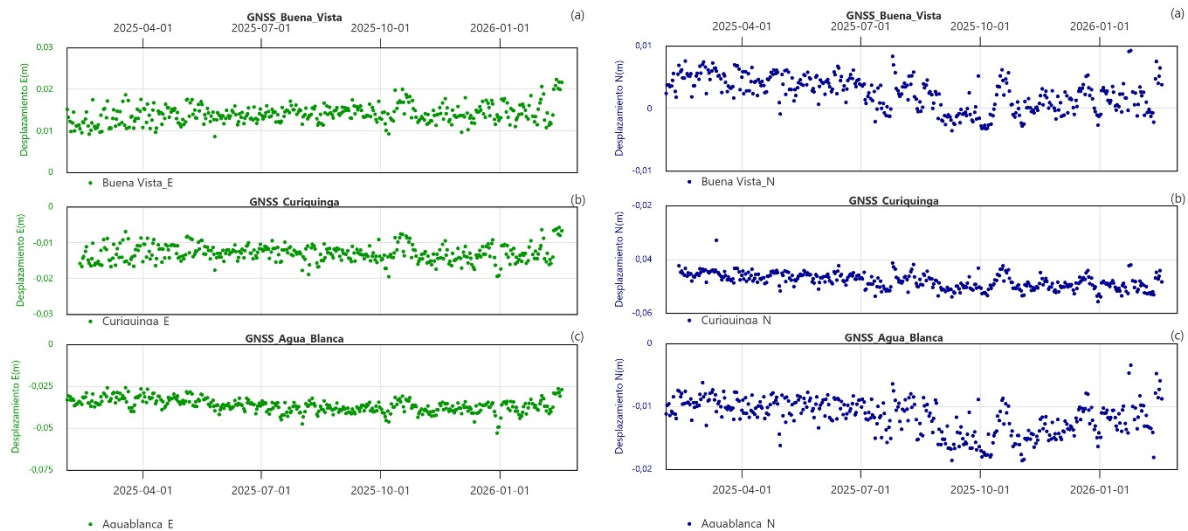


Figura 11. A la izquierda, series temporales de la componente Este de las estaciones: a) Buena Vista, b) Curiquinga y c) Agua Blanca. A la derecha, series temporales de la componente Norte de las mismas estaciones. El período de análisis abarca del 1 de febrero de 2025 al 28 de febrero de 2026

En la Figura 13 se presentan los datos del inclinómetro de Guañarita correspondientes al último año. Las componentes Este y Norte no muestran variaciones significativas en su tendencia, observándose únicamente fluctuaciones cíclicas asociadas a cambios de temperatura.



Boletín mensual

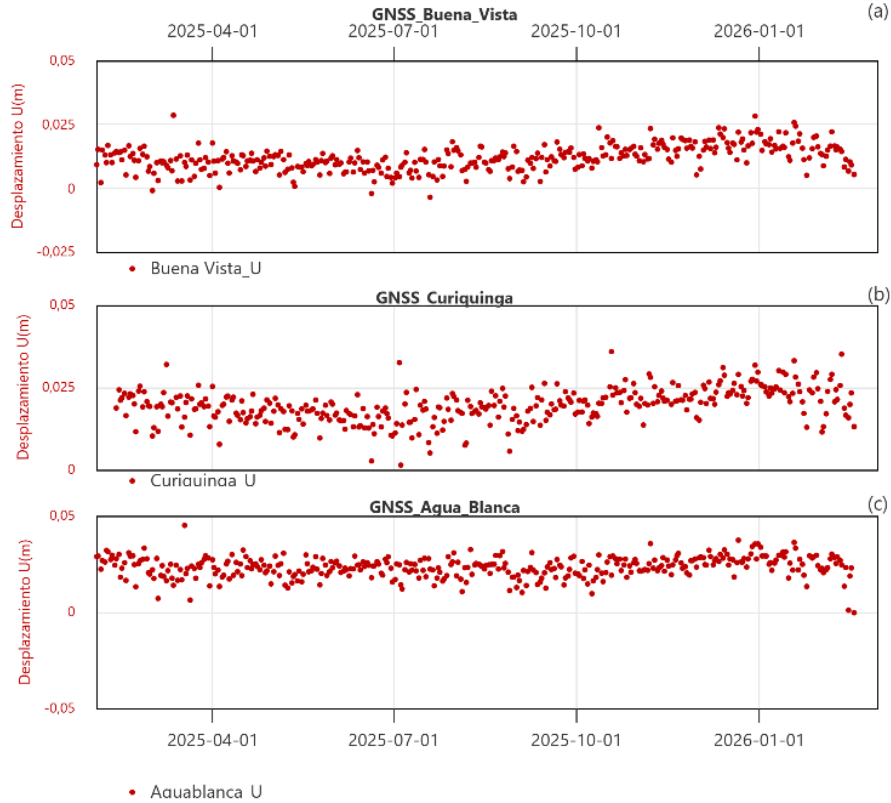


Figura 12. Series temporales de la componente Vertical de las estaciones: a) Buena Vista, b) Curiquinga y c) Agua Blanca. El período de análisis abarca del 1 de febrero de 2025 al 28 de febrero de 2026

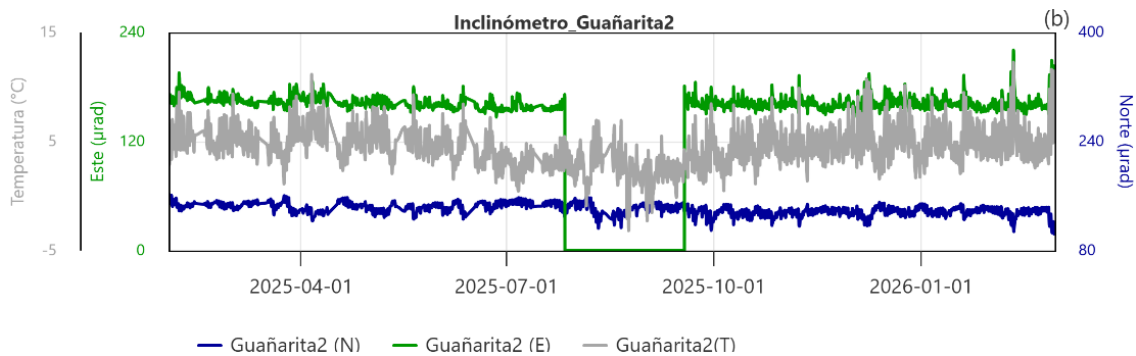


Figura 13. Serie temporal de la componente Este, Norte y Temperatura del inclinómetro de Guañarita. El período de análisis abarca del 1 de febrero de 2025 al 28 de febrero de 2026



Boletín mensual

Finalmente, los datos satelitales procesados mediante la técnica de Interferometría Diferencial de Radar de Apertura Sintética (DInSAR, Differential Interferometric Synthetic Aperture Radar) y el método SBAS (Small Baseline Subset) se presentan en la Figura 14. Se generaron dos series de tiempo: la primera corresponde a un sector ubicado al este del cráter del volcán Puracé, donde se ha registrado el mayor desplazamiento acumulado durante los últimos cinco años, alcanzando un valor aproximado de 11 cm. La segunda corresponde a la zona al interior del cráter del volcán Puracé; durante el mes de febrero, en este sector donde previamente se había registrado un aumento en la velocidad de deformación, se observa una desaceleración de este proceso.

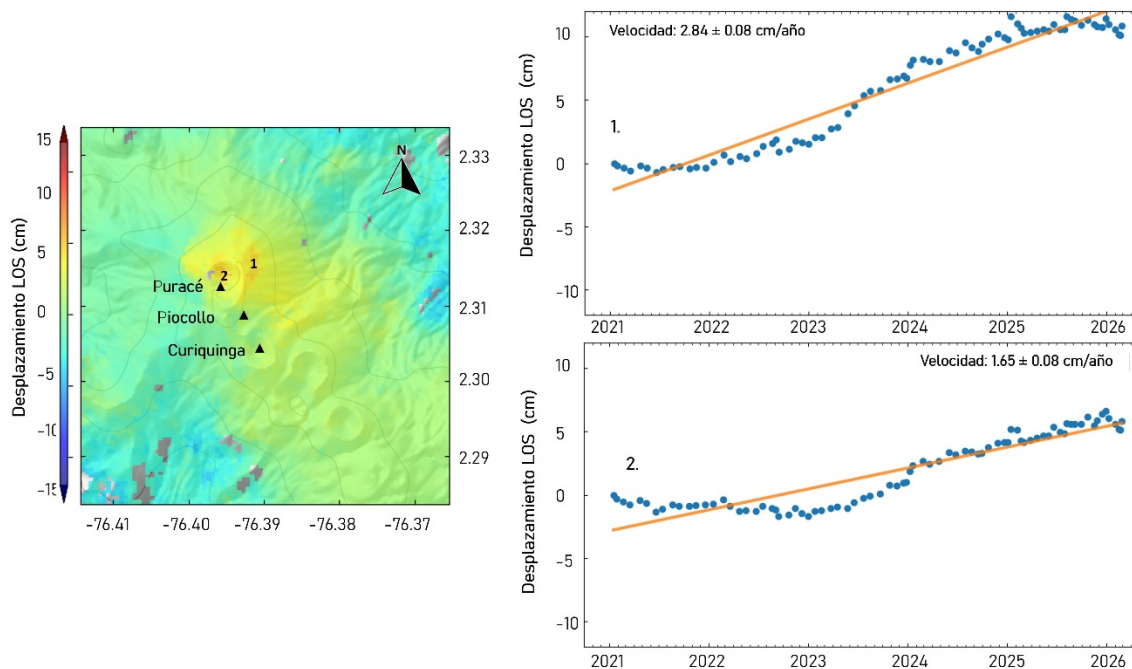


Figura 14. En la derecha se presenta la serie temporal DInSAR-SBAS para el periodo del 17 de enero del 2021 al 26 de febrero de 2026. En la derecha se muestra los desplazamientos acumulados para los sectores 1 y 2 señalados en el mapa. Como referencia se ha empleado la imagen SAR del 27 de diciembre de 2023



Boletín mensual

En relación con el monitoreo geoquímico realizado durante el mes de febrero, el análisis del registro satelital muestra que las plumas de SO_2 se dispersaron entre 25 y 250 km hacia el noroccidente de la cima del volcán Puracé (Figura 15a), cuya dirección y alcance están controlados principalmente por los patrones regionales de vientos. Los valores de masa emitida y concentraciones para este gas muestran fluctuaciones puntuales de corta duración, sin embargo, se catalogan como bajos (Figura 15b).

Se mantuvo una desgasificación continua y relativamente estable, caracterizada por episodios puntuales de mayor emisión, pero sin evidencias de una tendencia progresiva en la tasa de liberación de SO_2 . Este comportamiento es consistente con sistemas volcánicos en los que la desgasificación está controlada por la permeabilidad del medio y la liberación de gases desde niveles someros, sin indicios de un incremento significativo en el aporte magmático.

En la Figura 16 se observa el registro de la estación Vinagre2 que monitorea el flujo de SO_2 emitido, en ella se evidencia un comportamiento fluctuante con incrementos puntuales para el mes de febrero, caracterizado por niveles relativamente bajos a moderados, con picos que no superan las 600 t/d. En este periodo se observó una disminución tanto en la frecuencia como en los valores máximos de estas emisiones. Este comportamiento contrasta con lo observado en meses previos, cuando se registraron emisiones de mayor magnitud, con picos superiores a 2000 t/d.

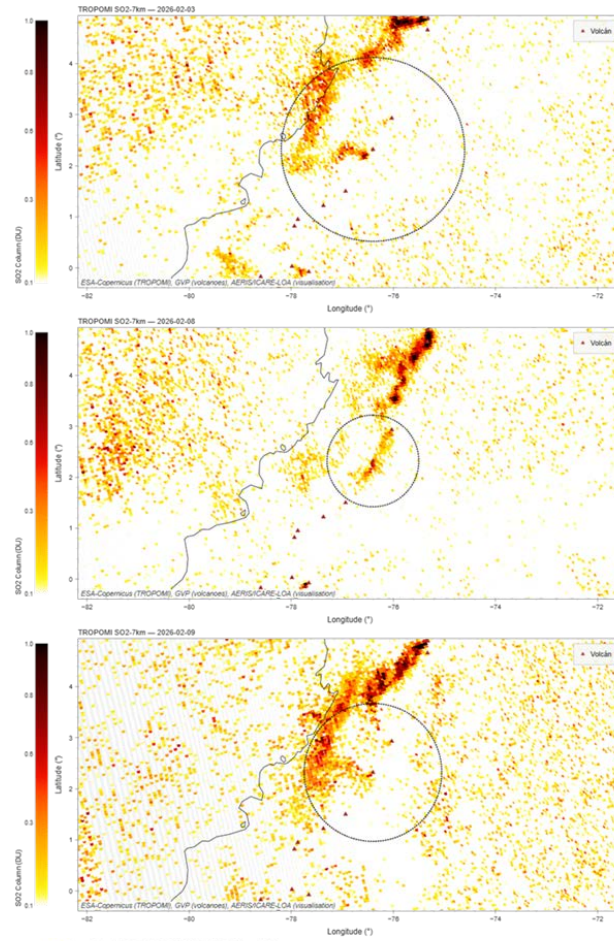
Por su parte, el monitoreo de CO_2 y ^{222}Rn evidencia un comportamiento estable, asociado a procesos de desgasificación difusa a escala del sistema volcánico. En la estación Cocuy3, una de las más cercanas al cráter, los registros de CO_2 y ^{222}Rn no muestran variaciones significativas durante febrero de 2026 (Figura 17a). Ambos presentan fluctuaciones menores dentro de sus rangos habituales, sin tendencias definidas, sugiriendo estabilidad en los procesos de transporte y liberación difusa de gases desde niveles someros.

En el sector de Piñuelas se cuenta con dos estaciones para medir concentración y flujo de CO_2 , estas presentaron variaciones leves dentro de rango esperado y sin anomalías (Figuras 17b y 17c). Asimismo, la estación San Juan registró valores estables de concentración de CO_2 , con fluctuaciones menores dentro de los valores habituales y sin cambios significativos (Figura 17d).



Boletín mensual

a)



b)

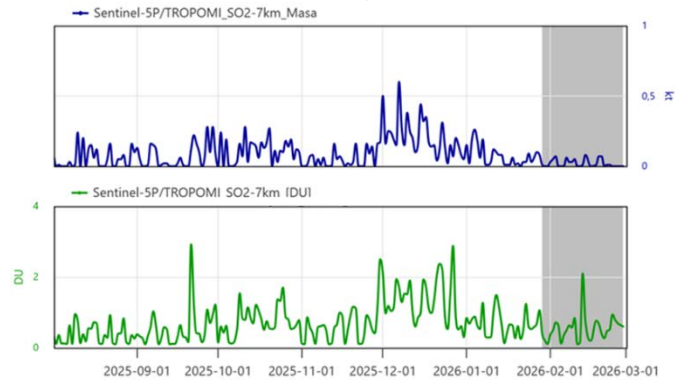


Figura 15. a) Imágenes satelitales TROPOMI_Sentinel-5P de dispersión de la pluma de SO₂. b) Arriba - valores de masa emitida (kt). Abajo - concentración (DU) de SO₂

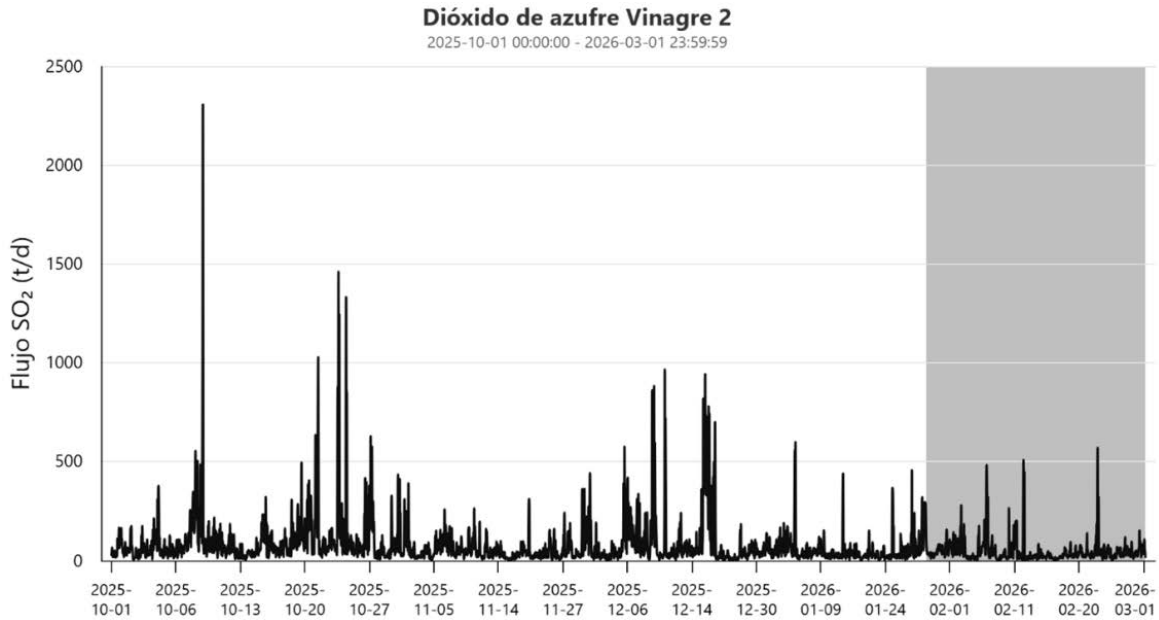


Figura 16. Registro de monitoreo telemétrico de SO₂ (DOAS) VP-CVLC

A lo largo del mes de febrero se evidenciaron altas tasas de descarga de gas en los campos fumarólicos lateral e interno; sin embargo, únicamente se registró un pulso menor de emisión de ceniza, para el cual se emitió la alerta dirigida a la Aeronáutica Civil mediante un VONA (Volcano Observatory Notice for Aviation). La dispersión de los gases y de las columnas de ceniza estuvo condicionada principalmente por la acción del viento.

La dispersión de los gases emitidos desde los campos fumarólicos (lateral e interno) estuvo controlada por corrientes de viento que circulan entre los 10 000 y 18 000 ft (3048–5486 m s. n. m.). En la Figura 18 se presenta el histograma del modelo de pronóstico a mesoescala WRF/IDEAM (Weather Research and Forecasting).

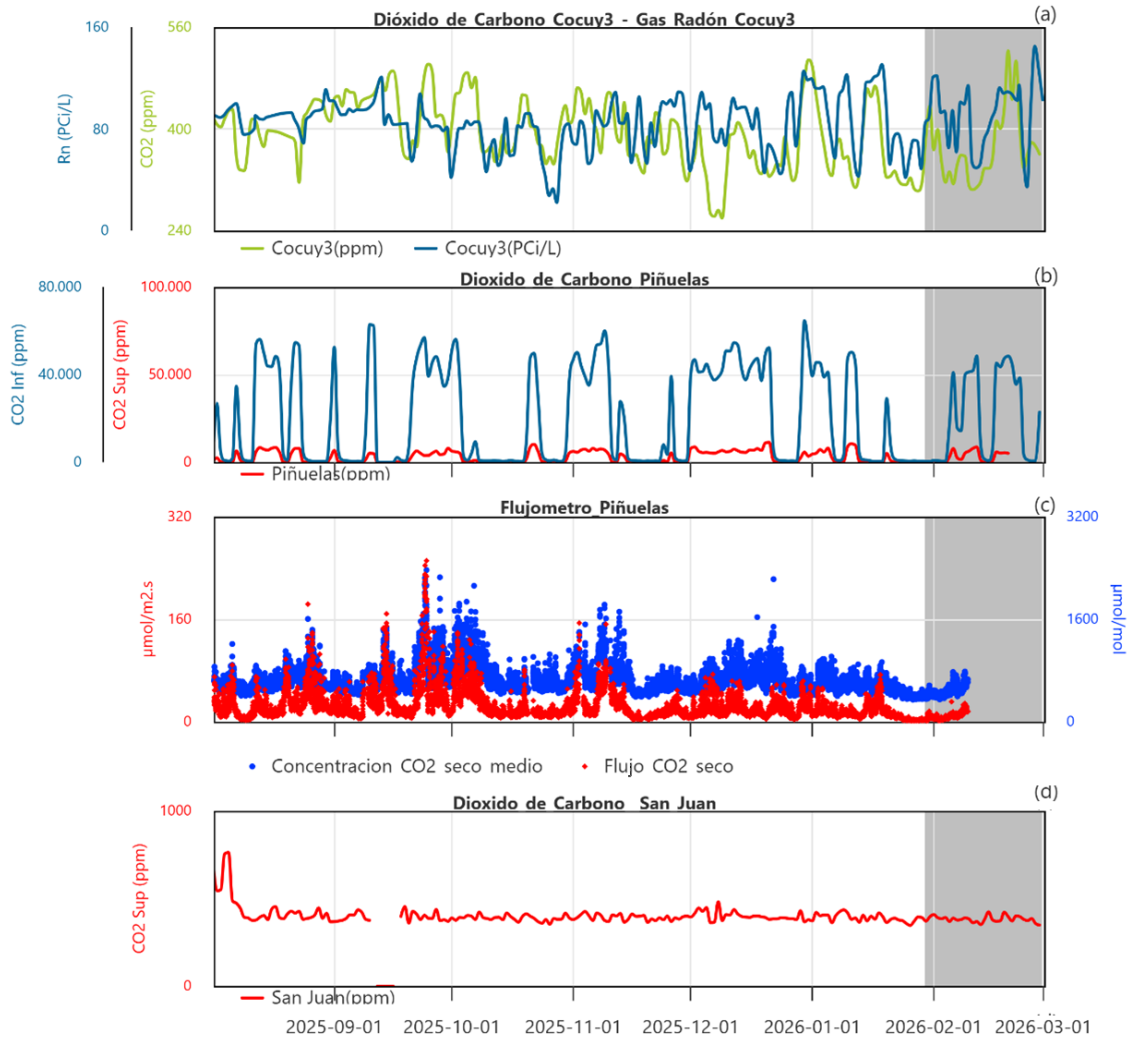


Figura 17. Registro de monitoreo telemétrico de gases difusos CO₂ y ²²²Rn VP-CVLC

Las velocidades máximas reportadas en el estrato de 10 000 ft alcanzaron valores de hasta 6 m/s (equivalentes a 22 km/h), registradas el día 21 de febrero, la velocidad promedio mensual para este estrato se estimó en 6,1 km/h. Por su parte, el estrato de 18 000 ft presentó una velocidad promedio de 4,3 m/s (15,5 km/h), con una dispersión predominante



—según el diagrama de rosa de los vientos— hacia el sector occidental-noroccidental del edificio volcánico.

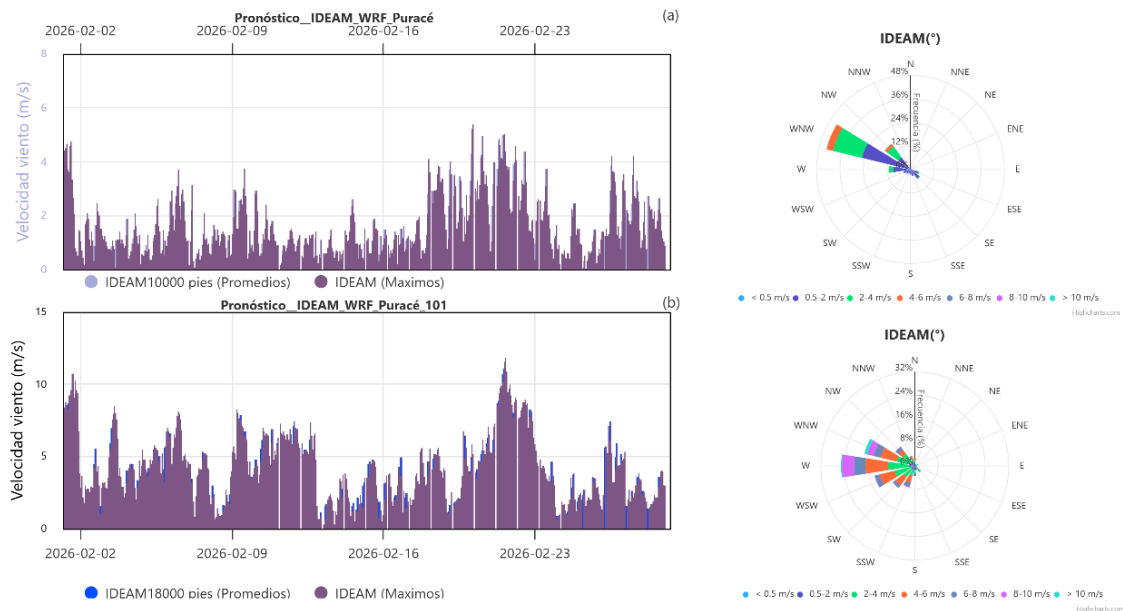


Figura 18. Velocidades diarias Modelo pronóstico WRF- IDEAM, febrero de 2026.

A través de la red de cámaras web fue posible evidenciar procesos de desgasificación del sistema, caracterizados por altas emisiones y descarga de gases en forma de columnas densas de color blanco. Estas emisiones se originaron en el interior del cráter del volcán Puracé y alcanzaron alturas superiores a 800 m sobre la cima, dispersándose preferencialmente hacia los sectores noroccidental y occidental del edificio volcánico.

A continuación, se presenta la Figura 19, en la cual se muestran las alturas de las columnas de gas emitidas por el volcán Puracé, estimadas durante el mes de febrero a partir de las imágenes captadas por la red de cámaras web.

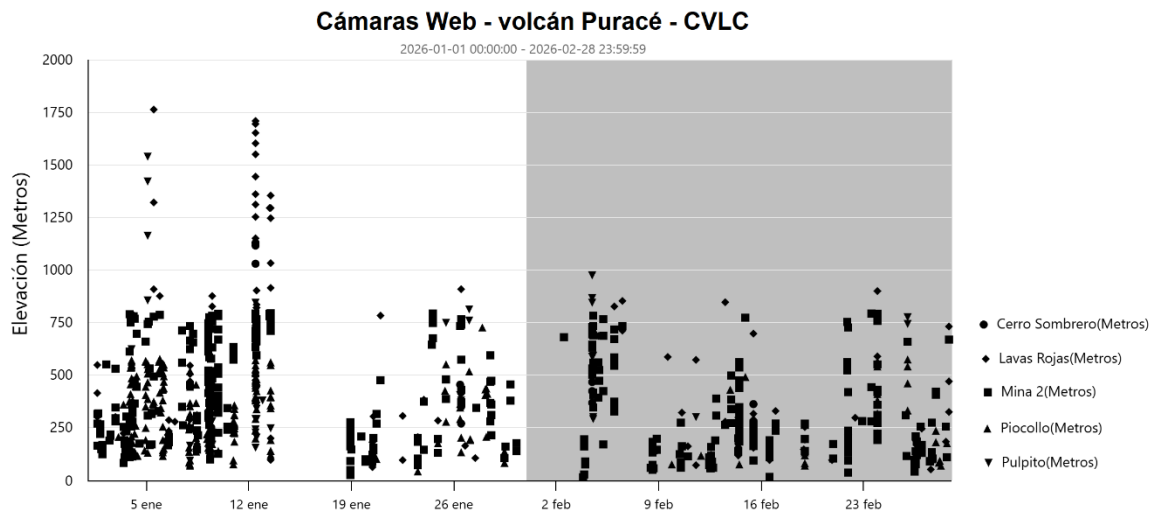


Figura 19. Estimaciones de altura calculadas para las columnas generadas en el volcán Puracé – CVLC, durante enero y febrero del 2026

En las Figuras 20 y 21 se presentan imágenes que evidencian cambios asociados con la actividad superficial del volcán Puracé, caracterizados por una descarga continua de gases en forma de columnas densas de color blanco. Estas emisiones son de alta presión y alcanzan alturas considerables, manteniendo una dirección predominante hacia el flanco occidental del edificio volcánico.

Desde la cámara web ubicada en el volcán Curiqinga se evidencia aún la presencia de ceniza al interior del cráter, generada durante las emisiones de noviembre y diciembre de 2025, y la emisión persistente de gases a través de las grietas formadas en la pared norte del volcán Curiqinga. De igual manera, desde finales del pasado mes de diciembre y hasta la fecha se observa una disminución del espejo de agua de la laguna, la cual mantiene una coloración turquesa asociada a procesos de alteración fisicoquímica (Figura 22).



Boletín mensual

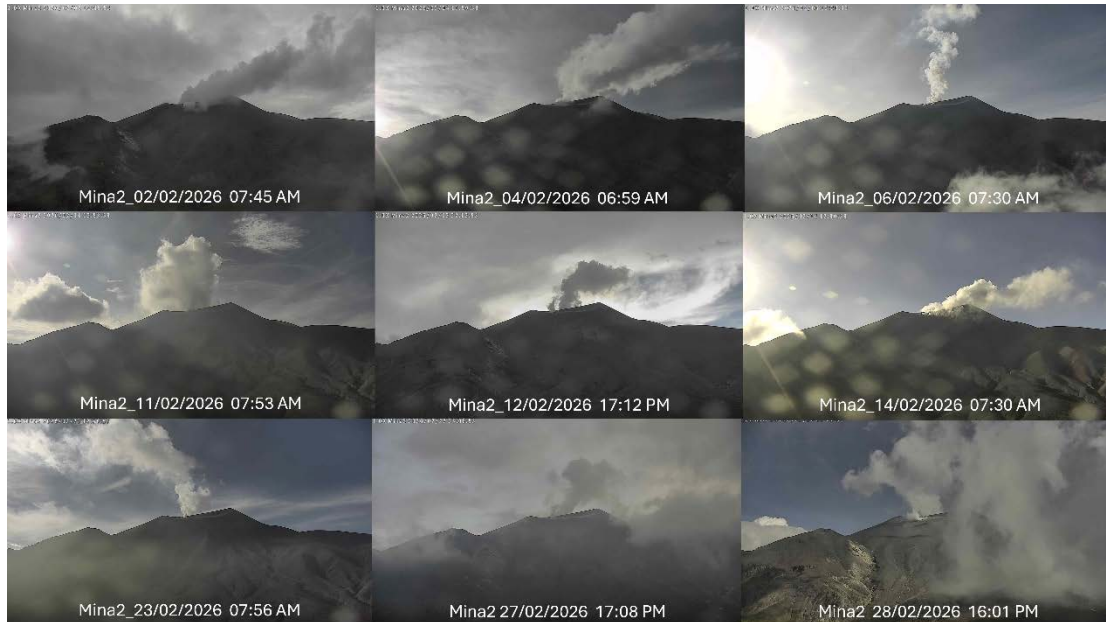


Figura 20. Emisiones de gases registradas desde la cámara web de Mina2, febrero de 2026

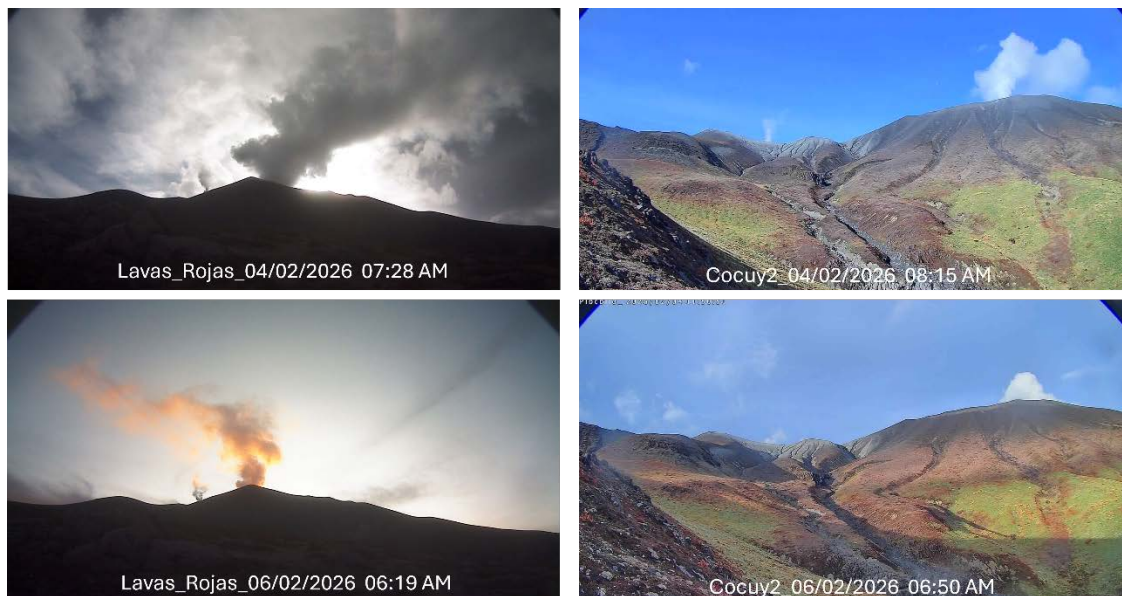


Figura 21. Emisiones de gases del volcán Puracé, registrada el 4 y 6 de febrero de 2026, captadas a través de las cámaras de Piccollo y Lavas Rojas



Figura 22. Imágenes captadas por la cámara web Curiquinga, 6 y 28 de febrero de 2026

Durante el periodo evaluado, la distribución espacial de las anomalías térmicas se mantiene restringida a la zona del cráter, sin evidencias de expansión hacia otros sectores del edificio volcánico. Este patrón es consistente con procesos de desgasificación superficial y circulación de fluidos hidrotermales a través de fracturas someras, sin indicios de nuevas fuentes térmicas asociadas a aporte magmático superficial (Figura 23).

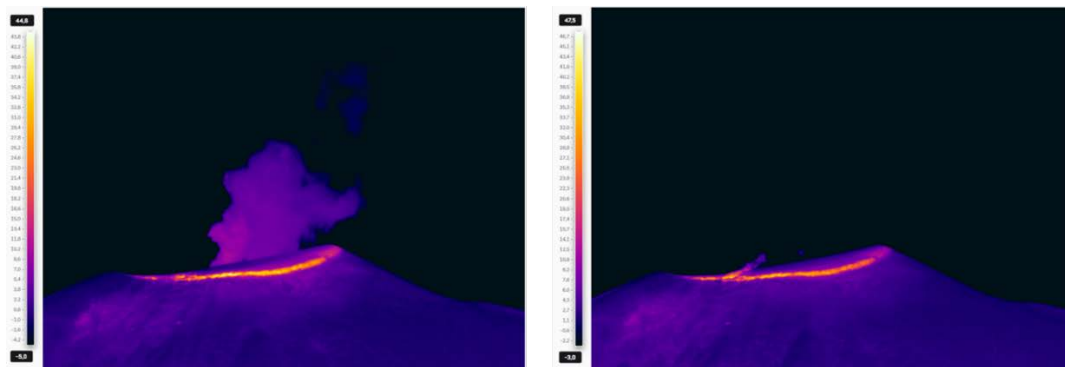


Figura 23. Imágenes térmicas infrarrojas del volcán Puracé (Mina2_IR), donde se resalta la del día 23 de febrero de 2026, donde se registra la máxima temperatura del mes (48,76°C)

En concordancia con esta distribución espacial, los registros de monitoreo térmico detallado (Figura 24) muestran que, durante el mes de febrero, la temperatura aparente superficial del campo fumarólico osciló entre 22,8 y 48,76 °C, mientras que las temperaturas aparentes asociadas a las emisiones de gas y ceniza variaron entre 14,2 y 42,24 °C, evidenciando un comportamiento térmico estable sin incrementos sostenidos. La cobertura del campo fumarólico (definida como el área con temperaturas aparentes superiores a 20 °C) se mantuvo relativamente constante, con un valor promedio cercano a 0,5 % respecto



Boletín mensual

al área total del edificio volcánico registrado en las imágenes térmicas. Este valor representa un ligero incremento en comparación con el mes anterior, posiblemente asociado a un flujo continuo de gases calientes a través del campo fumarólico ubicado en el flanco norte. En contraste, la cobertura asociada a las emisiones fue menor a la observada en diciembre, alcanzando valores de hasta 0,74 %, lo que refleja una disminución en la extensión superficial de las emisiones de gases y ceniza a través del cráter del volcán Puracé (Figura 24).

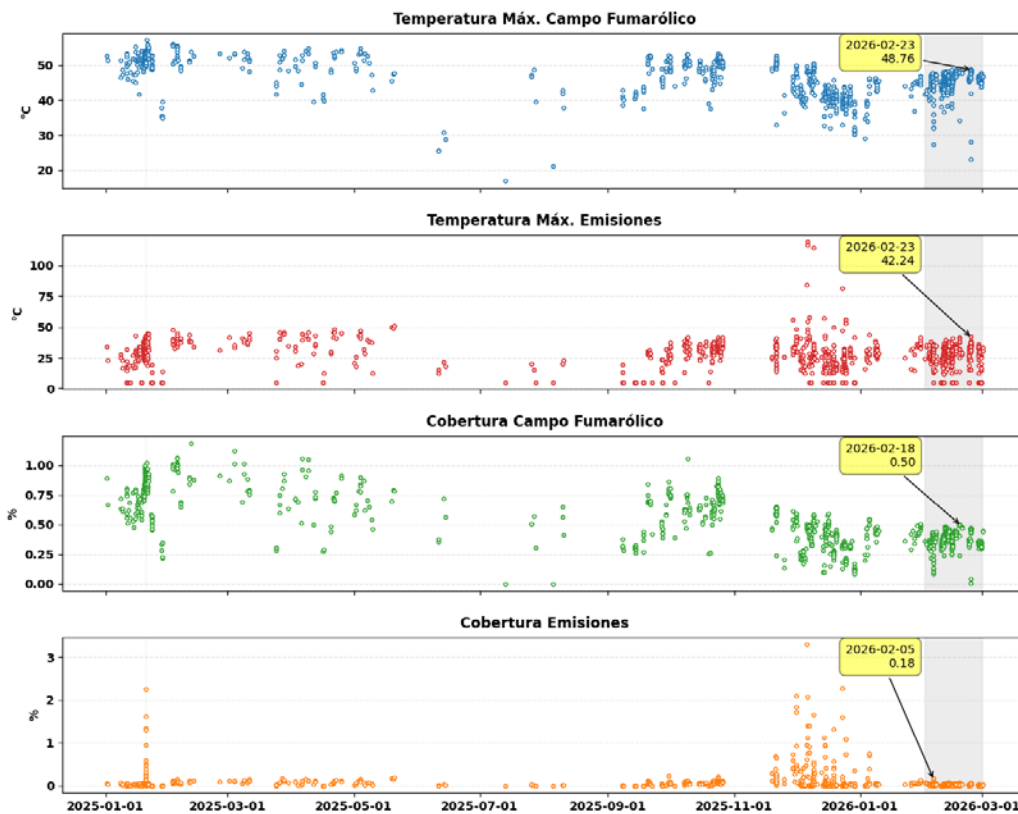


Figura 24. Registro del monitoreo térmico infrarrojo con la cámara Mina2IR a 2,2 km al noroeste del cráter del volcán Puracé. a) Temperatura máxima aparente medida en el campo fumarólico (emisividad $\epsilon=0.9$). b) Temperatura máxima aparente medida en la nube de gases (emisividad $\epsilon=0.6$) o gases y ceniza (emisividad $\epsilon=0.9$). c) Porcentaje de pixeles sobre el campo fumarólico con temperaturas aparentes superiores a 20°C (emisividad $\epsilon=0.9$). d) Porcentaje de pixeles con temperaturas aparentes superiores a 10°C (emisividad $\epsilon=0.6$) durante las emisiones de gases y/o cenizas



Adicionalmente, los productos satelitales MIROVA-VIIRS (375 m) indican la presencia de anomalías térmicas de baja intensidad durante febrero de 2026, con valores de Potencia Radiativa Volcánica (VRP) generalmente inferiores a ~2 MW y concentrados mayoritariamente por debajo de 1,5 MW. Las detecciones son esporádicas y se localizan principalmente en el sector del cráter, sin mostrar una tendencia sostenida al incremento (Figura 25). Las anomalías detectadas se asocian principalmente a emisión de gases y no indican durante este periodo cambios significativos en el aporte térmico desde niveles profundos.

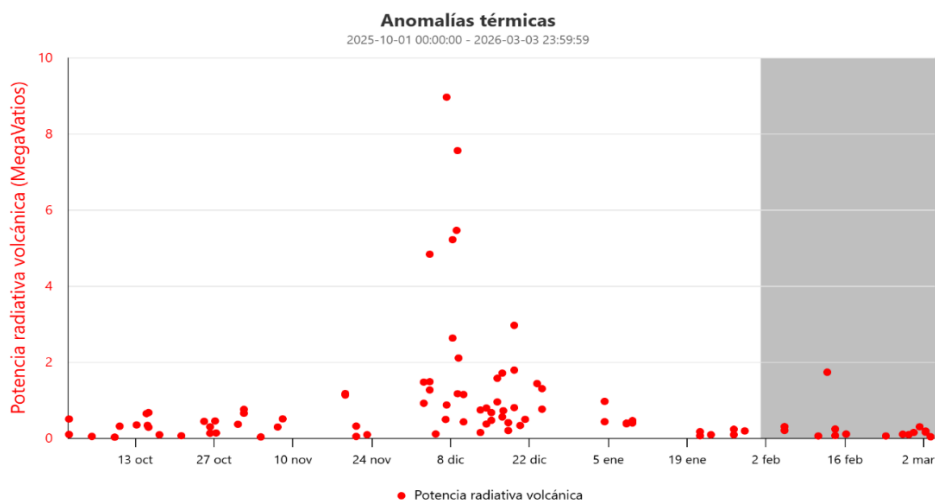


Figura 25. Gráfico de anomalías térmicas MIROVA-VIIRS (375 m) para el volcán Puracé dadas en unidades de potencia radiativa volcánica (VRP) megavatios

Por lo anterior, el **volcán Puracé - CVLC** se encuentra en estado de **ALERTA AMARILLA** (o III): volcán activo con cambios en el comportamiento del nivel base de los parámetros monitoreados y otras manifestaciones. Es importante aclarar que, **aunque los parámetros monitoreados del volcán Puracé - cadena volcánica Los Coconucos tienden a la estabilidad**, en cualquier momento **este podría cambiar rápidamente**, lo que conllevaría a retornar a un estado de alerta Naranja o, incluso, cambiar a Roja.



Boletín mensual



Entre el 1 y el 28 de febrero de 2026 se registraron 124 eventos sísmicos en la zona de influencia del **volcán Sotará**, de los cuales 110 estuvieron relacionados con procesos de fracturamiento de roca (tipo VT) y 14 con la dinámica de fluidos en los conductos volcánicos (tipo LP y TR).

En el último año el volcán ha mostrado una tendencia estable en

el número de eventos sísmicos registrados y la energía liberada por los mismos, ambos evaluados de manera diaria (Figuras 26a y 26b). En cuanto a los valores de magnitud calculados para los sismos de fractura localizados durante el periodo evaluado, continúan siendo bajos, manteniendo el promedio observado durante el último año de monitoreo (Figura 26c). Por otra parte, el tamaño de los sismos asociados a la dinámica de los fluidos al interior del volcán clasificados como tremores espasmódicos, representado por el desplazamiento reducido de las señales con valores menores a 1 cm^2 , es considerado muy bajo (Figura 26d). Los parámetros de sismicidad mencionados anteriormente muestran niveles bajos de actividad con pequeñas variaciones de carácter transitorio, que retornan rápidamente a la línea base conocida para esta estructura volcánica.

Durante el mes evaluado fue posible localizar 29 sismos de fractura, con magnitudes muy bajas, menores o iguales a $1,0 M_L$. La mayoría se concentraron bajo el edificio volcánico, cuyas profundidades menores a 3 km y hacia el nororiente del volcán, a distancias que oscilan entre 13 y 24 km y profundidades que varían de 3 a 16 km. Por último, se localizaron tres eventos hacia el occidente del edificio volcánico, a distancias cercanas a los 13 km, con profundidades que variaron entre 12 y 17 km. En la Figura 27 se puede detallar la distribución y la temporalidad de ocurrencia de los eventos localizados descrita anteriormente.



Boletín mensual

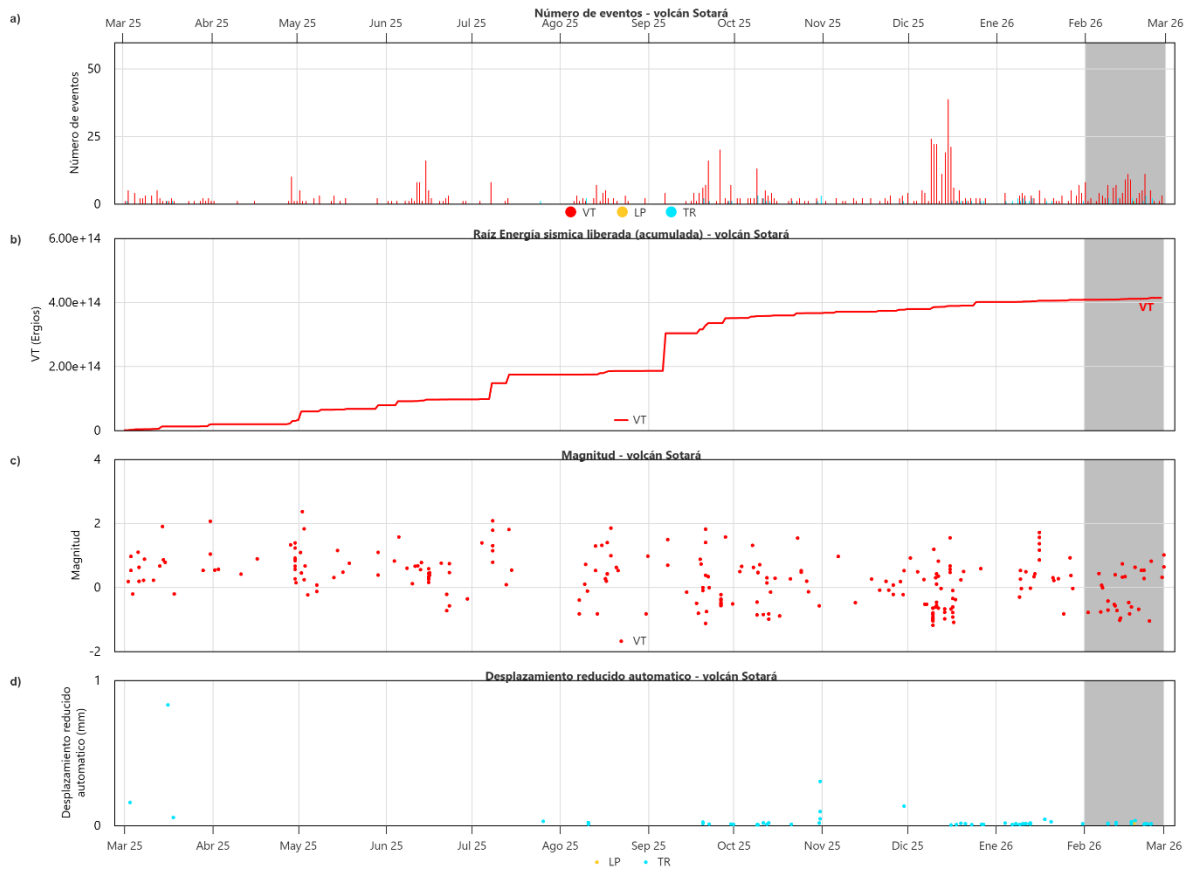


Figura 26. Series de tiempo para los parámetros sismológicos analizados en el volcán Sotará entre marzo de 2025 y febrero de 2026. a) Número de sismos registrados diariamente. b) Raíz del acumulado diario de la energía sísmica liberada por sismos VT. c) Magnitud local de los eventos VT localizados. d) Desplazamiento reducido eventos LP y TR. El periodo evaluado se encuentra sombreado con color gris



Boletín mensual

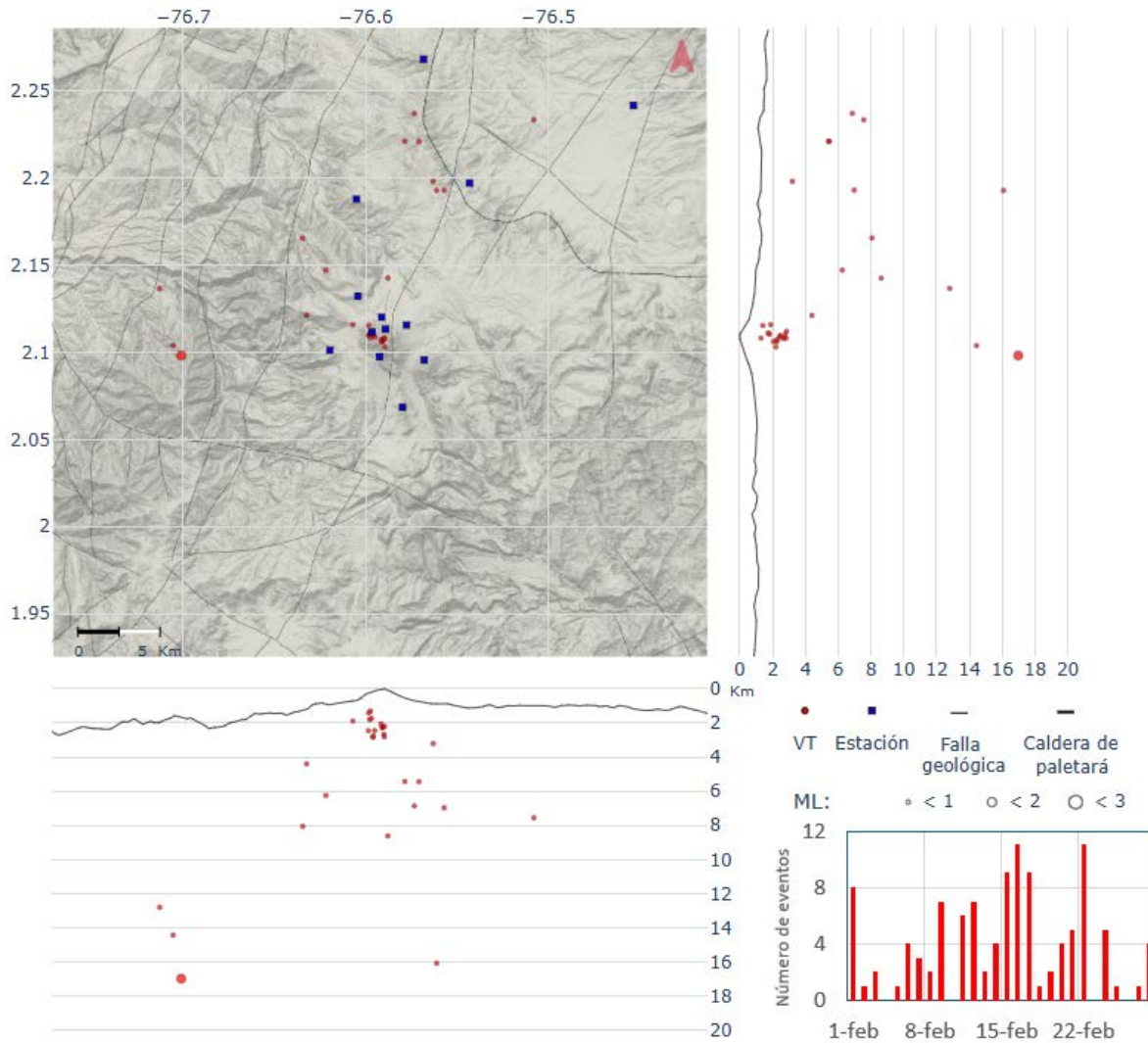


Figura 27. Mapa de localización de eventos volcano-tectónicos (VT) ocurridos durante febrero de 2026 en el volcán Sotará. Los círculos indican las localizaciones epicentrales e hipocentrales, cuyos tamaños varían según la magnitud calculada y los cuadros azules representan las estaciones sísmicas. En la parte inferior derecha se grafica la serie temporal de ocurrencia de los sismos localizados



Durante el periodo evaluado, la red de monitoreo de deformación del volcán no registró cambios relacionados con procesos de deformación volcánica. La red de estaciones GNSS mantuvo una tendencia estable, y el inclinómetro electrónico presentó únicamente variaciones asociadas a cambios de temperatura. En las figuras 28a y 28b se presentan, respectivamente, la serie temporal de la componente vertical de la estación GNSS Danta y la resultante de las componentes Este y Norte registradas por el inclinómetro de Triángulo.

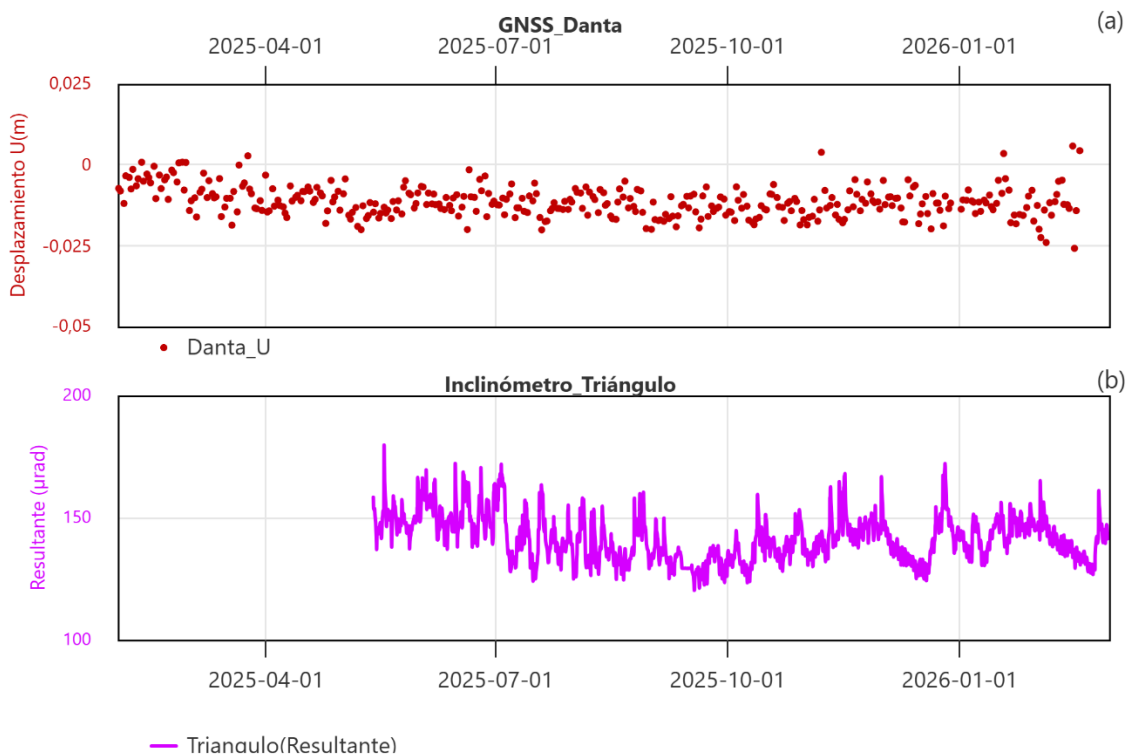


Figura 28. a) Serie temporal de la componente Vertical de la estación GNSS permanente Danta entre el 1 de febrero de 2025 y el 28 de febrero de 2026. b) serie temporal de la Resultante del inclinómetro Triángulo entre el 1 de febrero de 2025 y el 28 de febrero de 2026

Durante el mes de febrero a través de las imágenes captadas del edificio volcánico no se evidenciaron cambios morfológicos ni procesos asociados con emanaciones de gases. En la Figura 29 se muestran algunas de las imágenes destacadas durante el período evaluado.

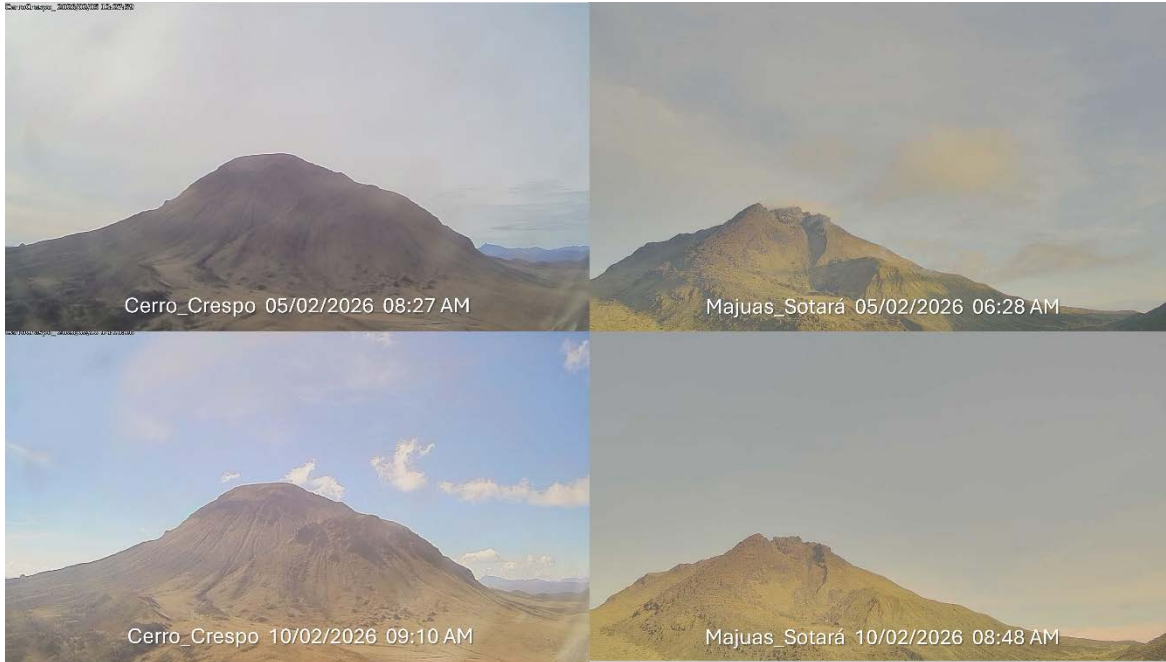


Figura 29. Imágenes captadas por las cámaras web del volcán Sotará: Cerro Crespo y Majúas Sotará 5 y 10 de febrero de 2026

Por lo anterior, el nivel de actividad del **volcán Sotará** continúa en **ALERTA AMARILLA** ■ **(o III)**: volcán activo con cambios en el comportamiento del nivel base de los parámetros monitoreados y otras manifestaciones.



Boletín mensual



Durante el mes de febrero se registró un (1) evento sísmico de fractura de baja magnitud en el área de influencia del volcán **Sucubún**. Mediante la cámara web Majúas-Sucubún no se apreciaron cambios superficiales en el edificio volcánico.

El nivel de actividad volcánica del **volcán Sucubún** se mantiene en **ALERTA VERDE** ● (o IV): volcán activo en reposo.

El **SERVICIO GEOLÓGICO COLOMBIANO** permanece atento a la evolución del fenómeno volcánico y continuará informando de manera oportuna los cambios que se puedan presentar; así mismo, seguirá participando activamente de procesos de socialización y acompañamiento técnico a las autoridades y comunidades.

Para más información se sugiere visitar la página web en el siguiente enlace:
<https://www.sgc.gov.co/volcanes>

SERVICIO GEOLÓGICO COLOMBIANO
DIRECCIÓN DE GEOAMENAZAS